



西安交通大学

xi'an jiaotong university

能源与动力工程学院  
School of Energy & Power Engineering

<http://epe.xjtu.edu.cn>



# 气固两相流及其燃烧

西安交通大学能源与动力工程学院

主讲人：周屈兰



# 3 气固两相流中相间作用力

## 3.1 气固两相流中颗粒的受力分析

## 3.2 颗粒的运动阻力



## 3.1 气固两相流中颗粒的受力分析

颗粒受力分析（这是成功分析气体颗粒流的最重要的步骤）

- 第一类：与流体、流动无关的力：重力、电磁力
- 第二类：机械运动学受力：惯性力（由颗粒的加速度产生）、离心力（旋转坐标系的角速度产生）、科里奥利力（旋转坐标系的角速度与线速度）
- 第三类：产生于流体的作用但与流体一颗粒之间相对运动无关的力，如浮力、压差力
- 第四类：依赖于流体颗粒相对运动的相互作用力，如阻力等，一类与相对运动的方向平行，一类与相对运动的方向垂直
- 第五类：非机械力学的力，如热泳、声泳、光泳



## 3.1.1 重力与浮力

$$F_g = \frac{1}{6} \pi d_p^3 \rho_p g \quad F_a = \frac{1}{6} \pi d_p^3 \rho_g g$$

$d_p$ —颗粒直径,

$\rho_p$ —颗粒密度

$\rho_g$ —流体密度



### 3.1.2 粘性阻力

- 1710年牛顿对粘性流体中作定常运动的圆球所受阻力大小进行了研究，当相对速度很大时，得到阻力计算公式

$$F_r = 0.22\pi r_p^2 \rho (v - v_p)^2$$

- 颗粒与气流存在相对运动，气流作用在颗粒上的力取决于滑移速度。但粘性阻力收到许多因素的影响，不但和颗粒的雷诺数有关，还与流体的湍流运动、流体可压缩性、流体与颗粒的温度不同、颗粒形状等，难以统一表达。为研究方便，引入阻力系数的概念

$$C_D = \frac{F_r}{\pi r_p^2 \left[ \frac{1}{2} \rho (v - v_p)^2 \right]}$$

则阻力表示为  $\vec{F}_r = \frac{1}{2} C_D \pi r_p^2 \rho |\vec{v} - \vec{v}_p| (\vec{v} - \vec{v}_p)$



### 3.1.3 附加质量力

- 颗粒相对流体作加速运动，颗粒周围的流体也被加速，这个力大于加速颗粒本身所需的力，相当于颗粒的质量增加，所以成为附加质量力（虚假质量力）

- 理论值：
$$\vec{F}_{vm} = \frac{1}{2} \rho_g V_p \left( \frac{d\vec{v}_g}{dt} - \frac{d\vec{v}_p}{dt} \right)$$

为同体积流体惯性力的一半，实际值大于理论值，需要经验系数修正。



## 3.1.4 Basset力

- 颗粒在粘性流体中速度变化时，周围流场不能马上稳定，形成一个瞬时的流动阻力，计及颗粒的加速历程。（推导过程：对颗粒的非稳态加速过程进行理论求解，其结果与稳态阻力有一项的差异）

$$F_B = \frac{3}{2} d_p^2 \sqrt{\pi \rho_g \mu} \int_{-\infty}^t \frac{\frac{dv_g}{d\tau} - \frac{dv_p}{d\tau}}{\sqrt{t - \tau}} d\tau$$

- 在急剧加速过程中，这个力的影响与粘性阻力相当。



## 3.1.5 压力梯度力

- 在有压力梯度的流场中收到的压力梯度引起的非均匀分布压力

$$\vec{F}_p = -\frac{4}{3}\pi r^3 \nabla p = -V_p \nabla p$$

- 对煤粉颗粒来说，该力很小，可以忽略不计





## 3.1.6 Magnus力

- 颗粒旋转速度的数量级约为1000r/s左右
- 旋转的原因：速度梯度造成冲刷颗粒不均匀，形状不规则造成各点受到阻力摩擦力不同，颗粒之间及颗粒与固体壁面之间的碰撞，不均匀的蒸发、析出、燃烧过程。
- 旋转产生横向的力（垂直于气流速度方向的力）
- 对球形的理论值  $\vec{F}_M = \frac{1}{8} \pi d_p^3 \rho_g (\vec{u}_g - \vec{u}_p) \times \vec{\omega} (1 + o(\text{Re}_p))$
- 实际应用定义升力系数： $C_L = \frac{F_L}{\frac{1}{2} \rho_g \pi r_p^2 (u_g - u_p)^2}$   
经验值，大约0.1~1之间



## 3.1.7 Saffman升力

■ Saffman升力由流场速度梯度引起，不是由颗粒旋转引起。

$$F_S = 1.61(\mu\rho_g)^{1/2} d_p^2 (u_g - u_p) \left| \frac{du_g}{dy} \right|^{1/2}$$

- 一般在主流区，由于速度梯度很小，该力很小，只有在速度边界层中才变的很明显。是使得颗粒不沉积的力之一。

## 3.1.8 其它力

- 热泳力：由布朗运动产生，在 $d < 10\mu\text{m}$ 时超过重力。
- 光泳力：吸收光能后加热附近气体分子。
- 静电力



# 各种力的数量级

	1 $\mu\text{m}$	10 $\mu\text{m}$	100 $\mu\text{m}$
气流曳引阻力 $F_r$	$0.59 \times 10^{-12}$	$0.15 \times 10^{-9}$	$0.82 \times 10^{-7}$
压力梯度力 $F_p$	$0.15 \times 10^{-15}$	$0.15 \times 10^{-12}$	$0.15 \times 10^{-9}$
Magnus力 $F_l$	$0.82 \times 10^{-14}$	$0.82 \times 10^{-11}$	$0.82 \times 10^{-8}$
Saffman力 $F_s$	$0.26 \times 10^{-15}$	$0.28 \times 10^{-12}$	$0.33 \times 10^{-9}$
附加质量力 $F_{vm}$	$0.53 \times 10^{-16}$	$0.64 \times 10^{-13}$	$0.72 \times 10^{-10}$
Basset力 $F_B$	$0.58 \times 10^{-12}$	$0.62 \times 10^{-10}$	$0.76 \times 10^{-8}$
热泳力 $F_T$	$0.19 \times 10^{-14}$	$0.20 \times 10^{-13}$	$0.20 \times 10^{-12}$
重力 $F_g$	$0.77 \times 10^{-14}$	$0.77 \times 10^{-11}$	$0.77 \times 10^{-8}$



## 3.2 颗粒的运动阻力

### 3.2.1 球形颗粒在稳定流动时的阻力规律

#### 一、低雷诺数 ( $Re < 1$ ) —— 蠕流

- $d$  足够小，与流体的相对速度不大，略去N-S方程中的惯性项，可求出近似解：

$$F_r = 3\pi\mu d_p u_\infty$$

其中，摩擦阻力占2/3，压差阻力占1/3

$$C_d = \frac{F_r}{\frac{1}{4}\pi d_p^2 \cdot \frac{1}{2}\rho_g u_\infty^2} = \frac{24\mu}{\rho_g u_\infty d_p} = \frac{24}{Re}$$

——Stokes阻力定律，在 $Re < 1$ 以及颗粒表面附近区域适用



- Ossen修正（考虑了部分惯性项）：

$$C_d = \frac{24}{\text{Re}} \left( 1 + \frac{3}{16} \text{Re} \right)$$

但由于得到改善的主要是远离球面的区域，在阻力系数计算方面改善不大。

- 还有很多其它改进解，基本上都是  $C_d = \frac{24}{\text{Re}} (1 + f(\text{Re}))$  的形式。



## 二、高雷诺数 ( $Re > 1$ )

惯性力不能忽略，理论求解N-S方程非常困难

- (1)  $Re < 1$ ，层流区 (Stokes区)
- (2)  $1 < Re < 1000$ ，过渡区 (Allen区)

形状阻力份额 $\uparrow$ ，摩擦阻力份额 $\downarrow$ ， $3 < Re < 400$ ，

$$C_d = \frac{24}{Re} \left( 1 + \frac{1}{6} Re^{2/3} \right)$$

- (3)  $Re > 1000$ ，湍流区 (Newton区)

牛顿阻力定律： $C_d = 0.445$ ； $Re > 3.5 \times 10^5$ ，流动性质不稳定。  
有大量的经验阻力系数关联式发表；有一个拟合公式适用范围相对较大：

$$C_d = \frac{24}{Re} + \frac{6}{1 + \sqrt{Re}} + 0.4 \quad 0 \leq Re \leq 2 \times 10^5。$$



### 三、阻力系数的实验数值和经验关联式

“标准阻力曲线”，用一组形如  $C_d = \frac{k_1}{Re} + \frac{k_2}{Re^2} + k_3$  的拟合公式表达不同雷诺数时阻力系数的变化



## 3.2.2 球形颗粒在不稳定流动时的阻力规律

- $Re < 1$ :

$$C_d = \frac{24}{Re} \left( 1 + \frac{1}{2} d_p \sqrt{\frac{1}{\pi \nu \tau}} \right)$$

$\tau$ 为定性时间，从状态改变到重新稳定所经过的时间

- Karanfilian和Kotas研究，在液体中：

$$C_d = C_{ds} \left[ 1 + \frac{d_p}{(u_g - u_p)^2} \frac{d}{dt} (u_g - u_p) \right]^{1.2 \pm 0.03}$$





### 3.2.3 气体的稀薄效应对阻力系数的影响

- 颗粒直径远远大于气体分子自由程时，认为气体是连续介质；但对于特别小的颗粒或低密度的气体，连续介质假设不成立。
- Kundsens数描述气体稀薄的程度  $Kn \propto \frac{Ma}{Re}$ ，然后在非连续流动时对阻力系数修正：

$$G = \frac{\text{连续流动的阻力系数}}{\text{非连续流动的阻力系数}}$$

- Fuch和Firelander提出G和Kn的关系

$$G = 1 + Kn[2.492 + 0.84 \exp(-1.74 / Kn)] > 1$$

$$Kn \uparrow, G \uparrow, Cd \downarrow$$



### 3.2.4 壁面的存在对球形颗粒阻力系数的影响

$\lambda = \frac{d_p}{D}$ ,  $\lambda \ll 1$ 时, 壁面的存在可以忽略; 但是颗粒较大或管道很细时,  $\lambda \uparrow$ , 面对颗粒阻力系数的影响 $\uparrow$ , 颗粒阻力系数将有较大增加, 且

$$K_F = \frac{\text{管道中颗粒阻力}}{\text{无界流动中颗粒阻力}}$$

- $Re < 1$ 时,  $K_F = \left(1 - \frac{cC_{d\infty}}{6\pi\mu_\infty l}\right)^{-1}$ ,  $l$ 是颗粒中心到壁面的距离,  $c$ 是取决于壁面情况的常数。
- $Re < 50$ 时,  $K_F = 1 + \frac{24}{Re} C_{d\infty} (k-1)$ ,  $k$ 是 $\lambda$ 的函数。
- $100 < Re < 10^4$ 时,  $K_F = \frac{1}{1 - 1.6\lambda^{1.6}}$ ,  $\lambda \leq 0.6$ ,  $K_F$ 与 $Re$ 无关
- $Re > 10^5$ 时,  $K_F = \frac{1 + 1.45\lambda^{4.5}}{(1 - \lambda^2)^2}$ ,  $\lambda \leq 0.92$ ,  $K_F$ 与 $Re$ 无关。



### 3.2.5 颗粒浓度对球形颗粒阻力系数的影响

- 颗粒浓度增加时，颗粒间相互作用增强，颗粒对流体的排挤也增强
- 颗粒群阻力系数修正， $\Psi(C_v)$ 与颗粒体积浓度相关，体积份额=0.2，修正系数 $\approx 2$

$$\Psi(C_v) = \frac{4 + 3C_v + 3(8C_v - 3C_v^2)^{1/2}}{(2 - 3C_v)^2}$$



## 3.2.6 非球形颗粒的阻力系数

### 一、引入球形度对非球形颗粒的阻力系数修正

$$C'_d = f(\text{Re}, \psi_w)$$

$$\text{Re} < 1 \quad C'_d = \frac{24}{\text{Re}} \left( 0.843 \lg \frac{\psi_w}{0.065} \right)^{-1} \quad \text{湍流区} \quad C'_d = 5.31 \sim 4.884$$

### 二、引入动力系数

相同Re时，球形阻力系数/非球形阻力系数

$$K_\varphi = \left( \frac{C'_d}{C_d} \right)_{\text{Re}}$$

Robins: 对煤粉,  $d < 100 \mu\text{m}$ ,  $K_\varphi \rightarrow 1.7$ ;

$\text{Re} < 1$ ,  $C'_d = 1.7 C_d$ ;  $\text{Re} > 1$ ,  $C'_d = 1.7 \text{Re}^{0.23} C_d$ 。



## 3.2.7 颗粒在燃烧时的阻力系数

周围气体的粘度上升，传热、传质、化学反应不均匀→颗粒形状变化

- 煤粉：挥发分析出对运动的影响。
- 以煤粒温度作为定性温度  $Re < 50$ ， $C_d = 52/Re$
- 以气流温度作为定性温度， $T_p/T_g \uparrow$ ， $C_d \uparrow$



# 4 气固两相流的松弛过程

## 4.1 气固两相非平衡流动的特点与松弛现象

- 气体与颗粒的速度、温度不同，有动量、热量的交换，使得二者的速度、温度有互相接近的趋势。
- 松弛或弛豫：随时间衰减的偏离平衡态的过程。

非平衡→平衡

- 松弛量  $\phi$ ， $\phi_\infty$  是不依赖于时间的常数， $\phi_\infty = \lim_{\tau \rightarrow \infty} \phi$ ， $\tau$ ——松弛过程的特征时间。

$$\frac{d\phi}{dt} = \frac{\phi_\infty - \phi}{\tau}$$



## 4.2 单颗粒的Lagrangian运动方程

$$m_p \frac{d\vec{u}_p}{dt} = \sum \vec{F} \qquad m_p = \frac{1}{6} \pi d_p^3 \rho_p$$

一维运动方程（忽略侧向力）

$$\frac{1}{6} \pi d_p^3 \rho_p \frac{du_p}{dt} = \frac{1}{4} \pi d_p^2 C_d \frac{1}{2} \rho_g (u_g - u_p)^2 + \frac{1}{2} \cdot \frac{1}{6} \pi d_p^3 \rho_g \left( \frac{du_g}{dt} - \frac{du_p}{dt} \right) +$$

$$\frac{3}{2} d_p^2 \sqrt{\pi \rho_g \mu} \int_{-\infty}^t \frac{\frac{du_g}{d\tau} - \frac{du_p}{d\tau}}{\sqrt{t - \tau}} d\tau + \frac{1}{6} \pi d_p^3 (\rho_p - \rho_g) g_x$$

忽略Basset力，再根据 $\rho_g/\rho_p \ll 1$ ，得

$$\frac{du_p}{dt} = \frac{3}{4} \frac{C_d}{d_p} \frac{\rho_g}{\rho_p} (u_g - u_p)^2 + g_x$$



## 4.2 单颗粒的Lagrangian运动方程

- 对于 $Re < 1$ 的Stokes阻力系数  $C_d = \frac{24}{Re} = \frac{24\mu}{\rho_g(u_g - u_p)d_p}$   
 带入上式, 可得  $\frac{du_p}{dt} = \frac{u_g - u_p}{\rho_p d_p^2} + g_x$

定义  $\tau_v = \frac{\rho_p d_p^2}{18\mu}$ , 速度松弛时间 (速度弛豫时间、速度松弛因子)

其量纲为  $[\tau_v] = \frac{[\rho_p][d_p]^2}{[\mu]} = \frac{ML^{-3} \cdot L^2}{ML^{-1}T^{-1}} = T$

- 对于 $Re > 1$ 的情况下,  $C_d = \frac{24}{Re} f(Re)$  则颗粒运动方程可以改写为

$$\frac{du_p}{dt} = \frac{u_g - u_p}{\tau_v} f(Re) + g_x$$





# 4.3 典型流场中气体一颗粒间的速度 松弛过程

假定：Stokes阻力区， $f(\text{Re})=1$ ， $\frac{du_p}{dt} = \frac{u_g - u_p}{\tau_v} + g_x$

## 4.3.1 具有初速度的颗粒在静止流场中的阻尼运动

颗粒初速度， $u_p|_{t=0} = u_{p0}$ ，流体 $u_g=0$ ，无外力 $g_x=0$

→  $\frac{u_p}{u_{p0}} = e^{-\frac{t}{\tau_v}}$

$t = \tau_v$  时， $\frac{u_p}{u_{p0}} = \frac{1}{e} = 36.8\%$        $t = 2\tau_v$  时， $\frac{u_p}{u_{p0}} = \frac{1}{e^2} = 13.5\%$

$t = 5\tau_v$  时， $\frac{u_p}{u_{p0}} = \frac{1}{e^5} = 0.7\%$        $t \rightarrow \infty$  时， $\frac{u_p}{u_{p0}} = 0$



# $\tau_v$ 的物理意义

- $\tau_v$  的物理意义：颗粒与流体速度滑移减小到其初值的  $1/e$  时所需的时间。表示了颗粒追踪流体的能力， $\tau_v$  越小，越易于追踪，气固间松弛过程进行得越快。

- 由  $u = \frac{dx}{dt}$ ，上式积分得到颗粒运动轨迹方程：

$$x = \tau_v (u_{p0} - u_p) = \tau_v u_{p0} \left( 1 - \exp\left(-\frac{t}{\tau_v}\right) \right)$$

$u_p|_{t \rightarrow \infty} = 0$ ， $x|_{t \rightarrow \infty} = \tau_v u_{p0}$ 。运动距离有限，松弛长度、制动距离，在静止流场中作阻尼运动达到静止。

- 松弛长度  $L_v = \int_0^{n\tau_v} u_p dt$ ， $n\tau_v$ ——松弛过程持续的时间， $n=5$  近似认为松弛过程结束。



## 4.3.2 初速度为0的颗粒在恒速流场中的运动

颗粒初速度  $u_p|_{t=0}=0$ ，流体  $u_g=\text{const}$ ，无外力  $g_x=0$

$$u_p = u_g \left( 1 - e^{-\frac{t}{\tau_v}} \right) \quad x = \tau_v u_g \left( \frac{t}{\tau_v} + \exp\left(-\frac{t}{\tau_v}\right) - 1 \right)$$

$u_p$ 以负指数的形式  $\rightarrow u_g$



## 4.3.3 颗粒在匀加速流场中的运动

颗粒初速度  $u_p|_{t=0} = 0$ ，流体  $u_g = bt$ ，无外力  $g_x = 0$

$$u_p = bt - b\tau_v \left( 1 - e^{-\frac{t}{\tau_v}} \right)$$

在匀加速流场中， $t \uparrow$ ， $u_p \uparrow$ ， $(u_g - u_p) \uparrow$ ，经过几倍的松弛时间后，达到与流体相同的加速度，此时颗粒  $u_g - u_p = b\tau_v = \text{const}$ ，可以说颗粒的运动落后流体一段时间  $\tau_v$ 。

综上所述：

(1) 若流场状态不变，则松弛过程使  $u_g \rightarrow u_p$ ，趋近的快慢取决于  $\tau_v$  的大小。

(2) 若流场状态变化，则颗粒始终不能同流体达到平衡。  
 $\tau_v$  小，表示颗粒跟随性好，相对于流体落后时间短。



对于一般情况，颗粒初速度  $u_p|_{t=0} = u_{p0}$ ，流体  $u_g = bt$ ，有外力  $g_x$

$$\frac{du_p}{dt} = \frac{u_{g0} + bt - u_p}{\tau_v} + g_x \quad (1)$$

令  $X = u_{g0} + bt - u_p$ ，则  $\frac{dX}{dt} = -\frac{du_p}{dt} + b$ ， $\frac{du_p}{dt} = -\frac{dX}{dt} + b$  带入 (1)

则

$$-\frac{dX}{dt} = \frac{X}{\tau_v} + (g_x - b) \quad (2)$$

令  $Y = \frac{X}{\tau_v} + (g_x - b)$ ，则  $\frac{dY}{dt} = \frac{1}{\tau_v} \frac{dX}{dt}$ ， $\frac{dX}{dt} = \tau_v \frac{dY}{dt}$  带入 (2)

则  $-\tau_v \frac{dY}{dt} = Y$  即  $\frac{dY}{Y} = -\frac{1}{\tau_v} dt$



回代得 
$$u_p = u_{g0} + bt + \left[ Ce^{-\frac{t}{\tau_v}} - (g_x - b) \right] \tau_v$$

根据  $u_p|_{t=0} = u_{p0}$  , 得 
$$C = -\frac{u_{p0} - u_{g0}}{\tau_v} + (g_x - b)$$

得到通解 
$$u_p = u_{g0} + bt + (u_{p0} - u_{g0})e^{-\frac{t}{\tau_v}} + \left(1 - e^{-\frac{t}{\tau_v}}\right)(g_x - b)\tau_v$$

特例 :

①  $g_x=0$ , 
$$u_p = u_{g0} + bt + (u_{p0} - u_{g0})e^{-\frac{t}{\tau_v}} - b\tau_v \left(1 - e^{-\frac{t}{\tau_v}}\right)$$

②  $g_x=0$ ,  $b=0$ , 
$$u_p = u_{g0} + (u_{p0} - u_{g0})e^{-\frac{t}{\tau_v}}$$



③  $g_x=0, u_{p0}=0,$

$$u_p = u_{g0} + bt - u_{g0}e^{-\frac{t}{\tau_v}} - b\tau_v \left(1 - e^{-\frac{t}{\tau_v}}\right) = u_{g0} + b(t - \tau_v) + (b\tau_v - u_{g0})e^{-\frac{t}{\tau_v}}$$

④  $g_x=0, u_{p0}=0, b=0,$

$$u_p = u_{g0} \left(1 - e^{-\frac{t}{\tau_v}}\right)$$

⑤  $g_x=0, u_{p0}=0, u_{g0}=0,$

$$u_p = bt - b\tau_v \left(1 - e^{-\frac{t}{\tau_v}}\right)$$

⑥  $g_x \neq 0, u_{p0}=0, u_{g0}=0, b=0,$

$$u_p = g_x \tau_v \left(1 - e^{-\frac{t}{\tau_v}}\right)$$



## 4.3.4 颗粒在静止流场中的重力沉降

- $g_x = g$ ,  $u_{p0} = 0$ ,  $u_{g0} = 0$ ,  $b = 0$ ,  $u_p = g\tau_v \left(1 - e^{-\frac{t}{\tau_v}}\right)$ ,  $u_p \rightarrow g\tau_v$ , 称为终端沉降速度  $u_t$ , 即在重力作用下颗粒在静止流场中作自由沉降时所达到的恒定速度 (或最大速度)

- 在Stokes阻力区,  $u_t = g\tau_v = \frac{\rho_p d_p^2 g}{18\mu}$

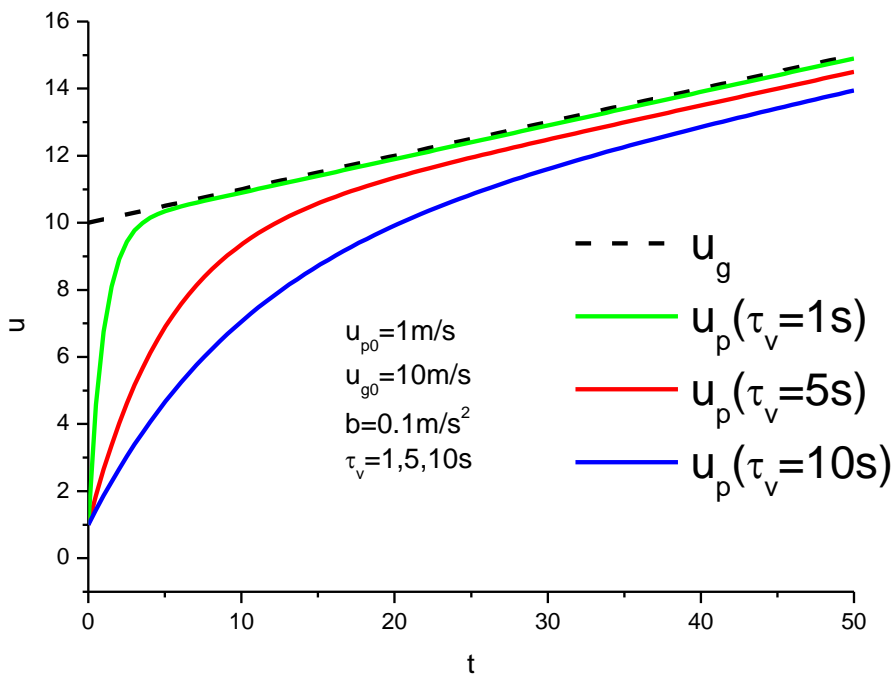
- 终端沉降速度的一般表达式可写为:

$$u_t = g\tau_v = \frac{\rho_p d_p^2 g}{18\mu f(\text{Re})}, \quad \text{Re} = \frac{\rho_g u_t d_p}{\mu}$$

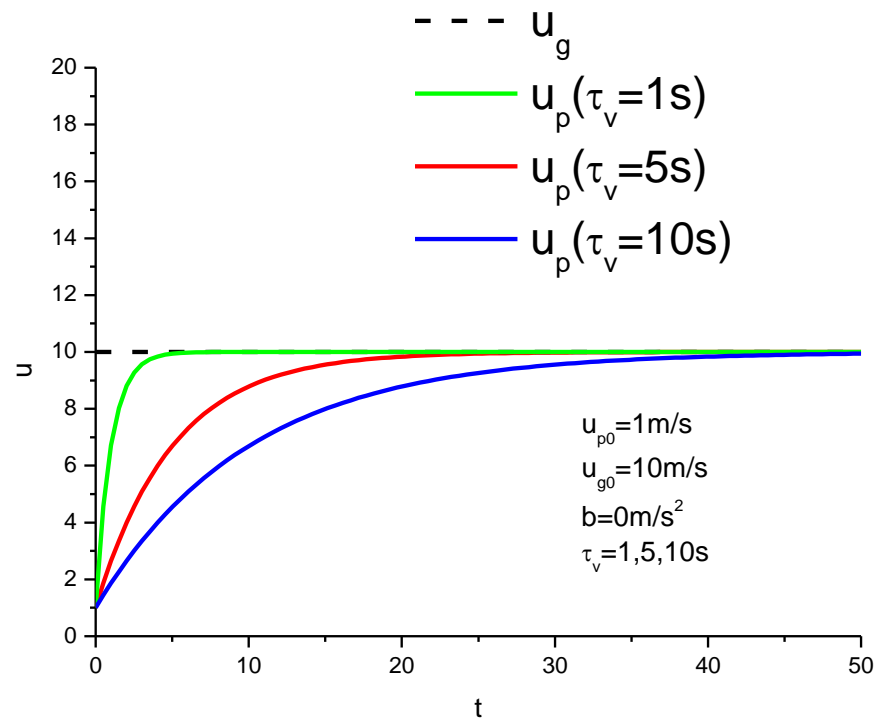




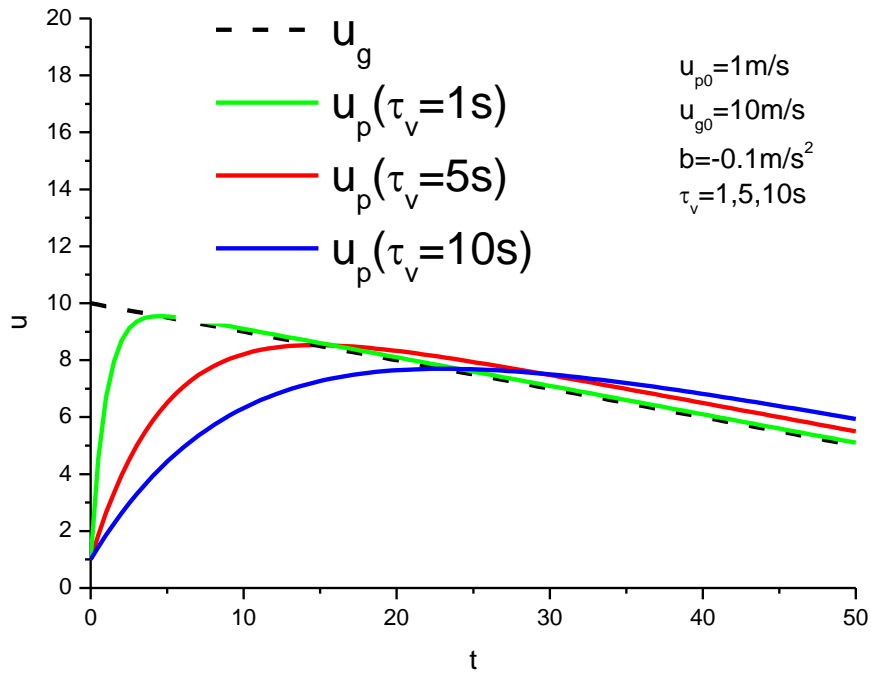
$$u_p = u_{g0} + bt + (u_{p0} - u_{g0})e^{-\frac{t}{\tau_v}} + \left(1 - e^{-\frac{t}{\tau_v}}\right)(g_x - b)\tau_v$$



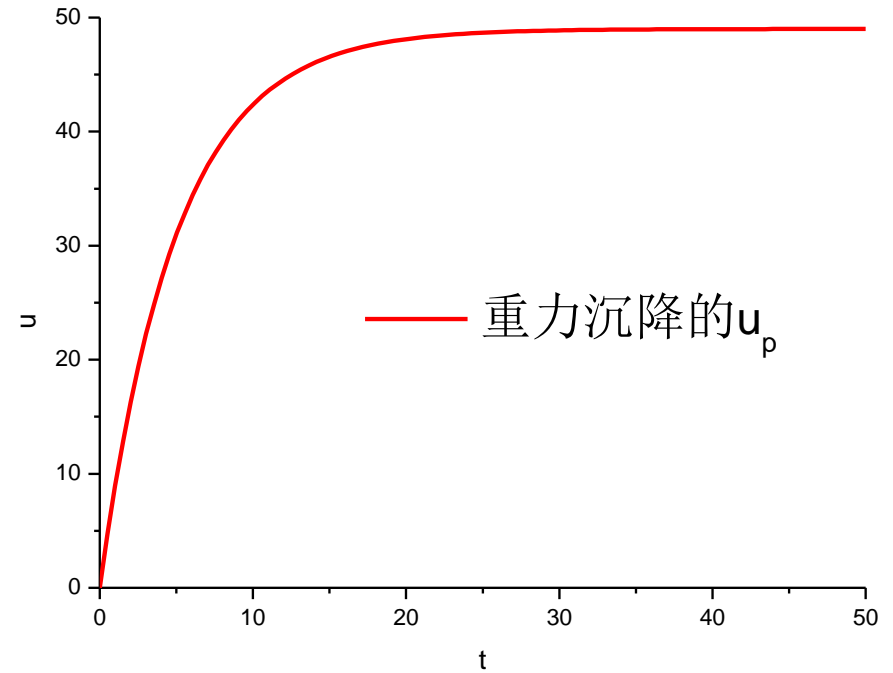
$b > 0$



$b = 0$



$b < 0$



$g$ 重力沉降



## 4.3.5 横向喷入流速为恒定的流场中的颗粒运动

二维流动问题：忽略重力，设流场速度方向为 $x$ ，流速为恒定 $u_g$ ，颗粒射入点位置 $x=0, y=0$ ，颗粒初速度 $u_{p0}, v_{p0}$ ，求颗粒轨迹及穿透流体的深度。

颗粒运动方程

$$\begin{cases} \frac{du_p}{dt} = \frac{u_g - u_p}{\tau_v} f(\text{Re}) \\ \frac{dv_p}{dt} = -\frac{v_p}{\tau_v} f(\text{Re}) \\ u_p|_{t=0} = u_{p0}, v_p|_{t=0} = v_{p0} \\ \text{Re} = \frac{\rho_g d_p}{\mu} \sqrt{(u_g - u_p)^2 + v_p^2} \end{cases}$$

当 $f(\text{Re})=1$ 时，可以分开求解

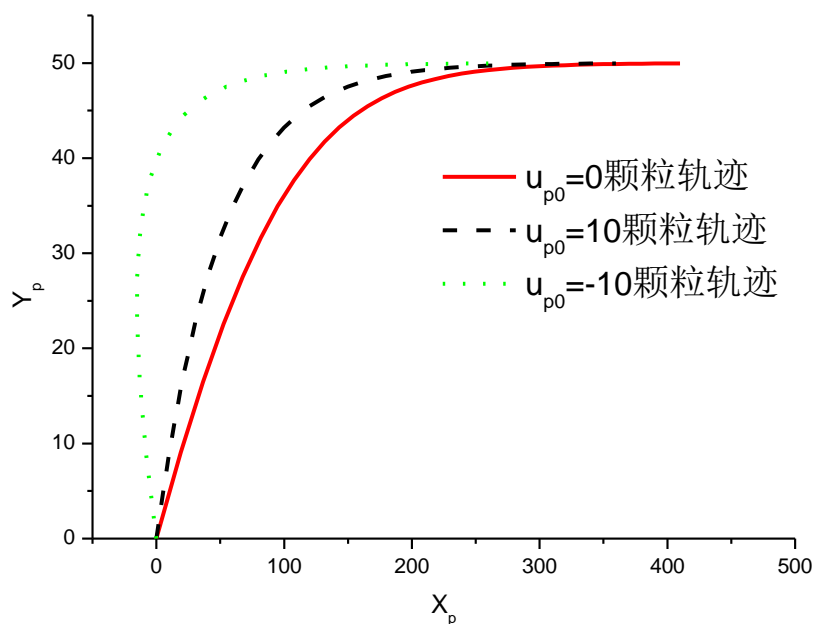
$$\begin{cases} u_p = u_g + (u_{p0} - u_g) e^{-\frac{t}{\tau_v}} \\ v_p = v_{p0} e^{-\frac{t}{\tau_v}} \end{cases} \quad \text{积分得,}$$

$$\begin{cases} x_p = u_g t + \tau_v (u_{p0} - u_g) \left( 1 - e^{-\frac{t}{\tau_v}} \right) \\ y_p = \tau_v v_{p0} \left( 1 - e^{-\frac{t}{\tau_v}} \right) \end{cases}$$

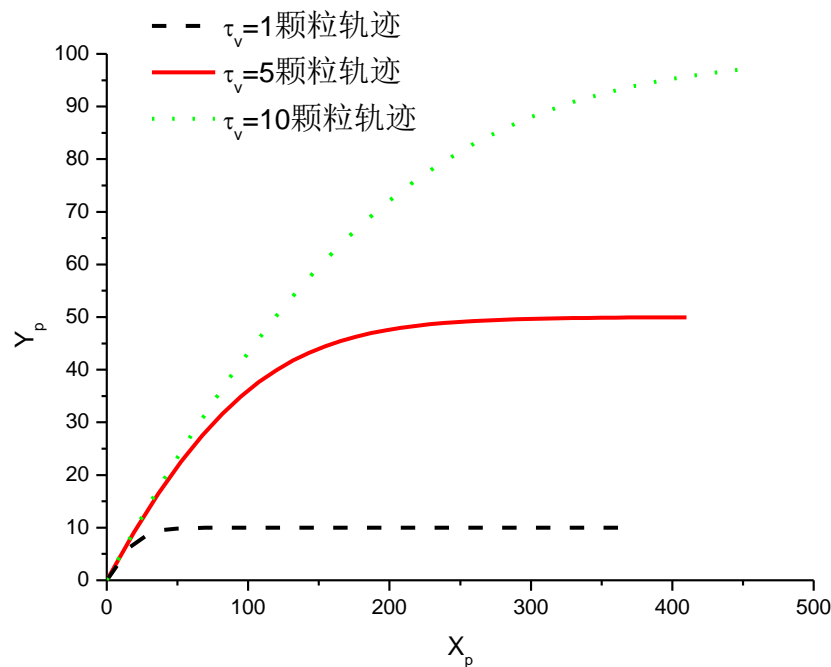
穿透深度



当 $f(Re) \neq 1$ 时， $x, y$ 方向的运动通过 $Re$ 数相互耦合，一般情况下只能用数值求解



不同入射速度



不同松弛时间



## 4.3.6 振荡气流中颗粒的运动

假定颗粒受谐振气流支配,  $u_g = u_{g0} \sin \omega t$ , 运动中只考虑 Stokes 阻力定律, 则得

$$\frac{du_p}{dt} = \frac{u_{g0} \sin \omega t - u_p}{\tau_v} \quad (1)$$

令  $X = \frac{u_{g0} \sin \omega t - u_p}{\tau_v}$ , 则  $\frac{dX}{dt} = \frac{\omega u_{g0} \cos \omega t - \frac{du_p}{dt}}{\tau_v}$

→  $\frac{du_p}{dt} = -\tau_v \frac{dX}{dt} + \omega u_{g0} \cos \omega t = X$  则  $\frac{dX}{dt} = -\frac{X - \omega u_{g0} \cos \omega t}{\tau_v}$

令  $Y = -\frac{X - \omega u_{g0} \cos \omega t}{\tau_v}$ , 则  $\frac{dY}{dt} = -\frac{\omega^2 u_{g0} \sin \omega t + \frac{dX}{dt}}{\tau_v}$

$\frac{dX}{dt} = -\tau_v \frac{dY}{dt} - \omega^2 u_{g0} \sin \omega t = Y$  →  $\frac{dY}{dt} = \frac{-\omega^2 u_{g0} \sin \omega t - Y}{\tau_v} \quad (2)$

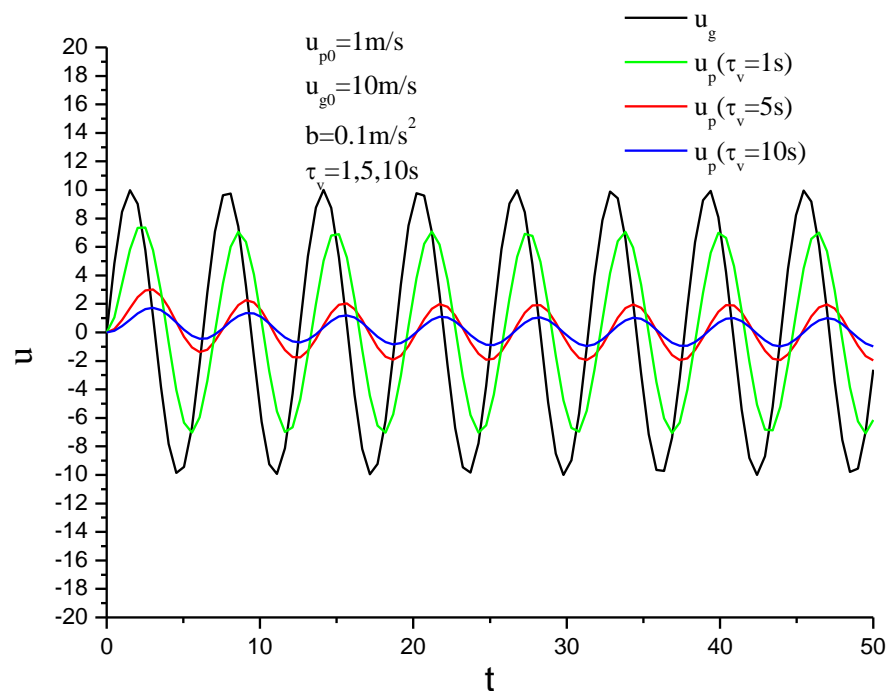
(1)  $\times \omega^2 + (2)$  得, 
$$\frac{d(\omega^2 u_p + Y)}{dt} = -\frac{\omega^2 u_p + Y}{\tau_v}$$

得

$$\omega^2 u_p + Y = \omega^2 u_p - \frac{\frac{u_{g0} \sin \omega t - u_p}{\tau_v} - \omega u_{g0} \cos \omega t}{\tau_v} = C e^{-\frac{t}{\tau_v}}$$

$$\left( \omega^2 + \frac{1}{\tau_v^2} \right) u_p = C e^{-\frac{t}{\tau_v}} + \frac{u_{g0} \sin \omega t}{\tau_v^2} - \frac{\omega u_{g0} \cos \omega t}{\tau_v}$$

$t=0$  时,  $u_{p0}=0$ , 则  $C = \frac{\omega u_{g0}}{\tau_v}$ , 
$$u_p = \frac{1}{1 + \tau_v^2 \omega^2} \left[ \tau_v \omega u_{g0} \left( e^{-\frac{t}{\tau_v}} - \cos \omega t \right) + u_{g0} \sin \omega t \right]$$





## 4.4 颗粒群的松弛过程

- $t=0$ , 气流和颗粒的初速度  $u_{g0}$ ,  $u_{p0}$ ,  $\varphi_p$  为颗粒群所占的质量分数,  $\varphi_g$  为气体所占的质量分数, 则  $\varphi_p + \varphi_g = 1$ , 初始动量  $u_m = u_{g0}\varphi_g + u_{p0}\varphi_p$

- 设相间无质量交换, 流场均匀和无限延展,  $\varphi_p$  保持不变, 则混合体系的总动量守恒  $u_g\varphi_g + u_p\varphi_p = u_{g0}\varphi_g + u_{p0}\varphi_p = u_m$

$$\Rightarrow u_g = \frac{u_m - u_p\varphi_p}{\varphi_g}, \text{ 带入 } \frac{du_p}{dt} = \frac{u_g - u_p}{\tau_v}$$

$$\text{整理得 } \frac{du_p}{dt} = \frac{u_m - u_p}{\varphi_g\tau_v}, \text{ 设 } \tau_v \text{ 为常数}$$

$$u_p = u_m + (u_{p0} - u_m)e^{-\frac{t}{\varphi_g\tau_v}} = (u_{g0}\varphi_g + u_{p0}\varphi_p) \left( 1 - e^{-\frac{t}{\varphi_g\tau_v}} \right) + u_{p0}e^{-\frac{t}{\varphi_g\tau_v}}$$



- 可以看出，颗粒群的松弛时间小于单颗粒的松弛时间，前者为后者的 $\varphi_g$ 倍，而且颗粒速度趋于 $u_m$ 而非 $u_{g0}$ 。

原因：气相与颗粒相一起松弛，同时向平衡态靠近

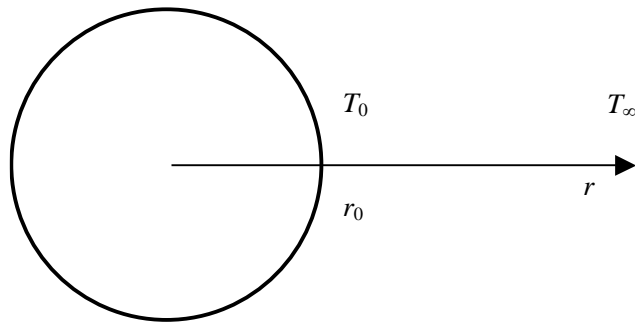
$$\frac{u_m - u_{p0}}{u_{g0} - u_{p0}} = \frac{u_{g0}\varphi_g + u_{p0}\varphi_p - u_{p0}}{u_{g0} - u_{p0}} = \varphi_g$$





# 4.5 气体一颗粒间的温度松弛

## 4.5.1 无界流场中相对静止的颗粒



球对称坐标系的热传导方程

$$\frac{1}{r^2} \frac{\partial}{\partial r} \left( r^2 \frac{\partial T}{\partial r} \right) = 0$$

积分一次  $r^2 \frac{\partial T}{\partial r} = C_1 \Rightarrow \frac{\partial T}{\partial r} = \frac{C_1}{r^2}$  再积分一次  $T = -\frac{C_1}{r} + C_2$

根据边界条件,  $r=r_0$ 时,  $T_0 = -\frac{C_1}{r_0} + C_2$ ,  $r \rightarrow \infty$ 时,  $T_\infty = C_2$

得  $C_1 = (T_\infty - T_0)r_0$ ,  $C_2 = T_\infty$ , 则  $T = T_\infty - \frac{r_0}{r}(T_\infty - T_0)$

则求出 $r=r_0$ 处的热流

$$Q = \lambda 4\pi r_0^2 \left. \frac{dT}{dr} \right|_{r=r_0} = \lambda 4\pi r_0^2 \left( \left. \frac{r_0(T_\infty - T_0)}{r^2} \right|_{r=r_0} \right) = \lambda 4\pi r_0^2 \frac{(T_\infty - T_0)}{r_0}$$

对比牛顿冷却定律, 传热量:

$$Q = 4\pi r_p^2 h (T_g - T_p)$$

可得

$$h = \frac{\lambda}{r_0}$$



$$Nu = \frac{hd}{\lambda} = \frac{\frac{\lambda}{r_0} 2r_0}{\lambda} = 2$$



## 4.5.2 有相对运动时的情况

由于对流作用的增强

$$Nu = 2 + 0.6Pr^{1/3} Re^{1/2}$$

Pr为流体的Prandtl数

$$Pr = \frac{\mu c_p}{\lambda} = \frac{\nu}{a}$$



## 4.5.3 温度松弛过程

设颗粒内部温度均匀，则颗粒与气体间的非稳态传热方程可写为

$$\frac{1}{6} \pi d_p^3 \rho_p c_p \frac{dT_p}{dt} = \pi d_p^2 h (T_g - T_p) \quad \text{整理得} \quad \frac{dT_p}{dt} = \frac{6h}{d_p \rho_p c_p} (T_g - T_p) = \frac{\frac{hd_p}{\lambda} (T_g - T_p)}{\frac{\rho_p d_p^2 c_p}{12\lambda}}$$

$$Nu = 2, \quad \text{令} \quad \tau_T = \frac{\rho_p d_p^2 c_p}{12\lambda}, \quad \frac{dT_p}{dt} = \frac{(T_g - T_p)}{\tau_T}$$

设气体温度不变  $T_g = \text{const}$ ,  $T_p|_{t=0} = T_{p0}$ , 易得  $T_p - T_g = (T_{p0} - T_g) e^{-\frac{t}{\tau_T}}$

温度松弛时间  $\tau_T$  的物理意义：颗粒与气流动温差减少到初始温差  $1/e = 36.8\%$  的时所需的时间。

$\frac{\tau_T}{\tau_v} = \frac{3}{2} \frac{c_g}{c_p} Pr$ ，大多数气体  $Pr \approx 2/3$ ，且  $c_g/c_p \approx 1$ ，两个松弛时间大致相同。



## 4.6 平衡流动和冻结流动

- 一、若某一过程（流动或传热）进行的特征时间  $t \gg \tau$  松弛时间  $\tau$ ，那末颗粒的参数几乎随时都能追随流场参数变化，则这样的流动可视作平衡流动（单相流动），先求混合物的平均物性，用一种等效流体代替两相混合物，再用流体力学方程求解等效的单相流动。
- 二、 $t \ll \tau$ ，这样的流动视为冻结流动，颗粒的温度和速度视作不变，两相独立求解（无需耦合）。